

# Уравнение, описывающее поверхность морской раковины

**Аврора Боронина**

СУНЦ НГУ, Новосибирск

Научный руководитель:

**д.ф.-м.н. А. П. Чупахин**

Институт Гидродинамики  
им. М. А. Лаврентьева

---

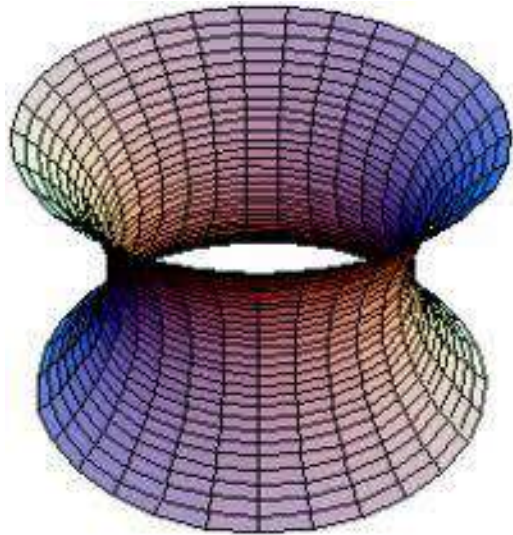
МНСК

# План презентации

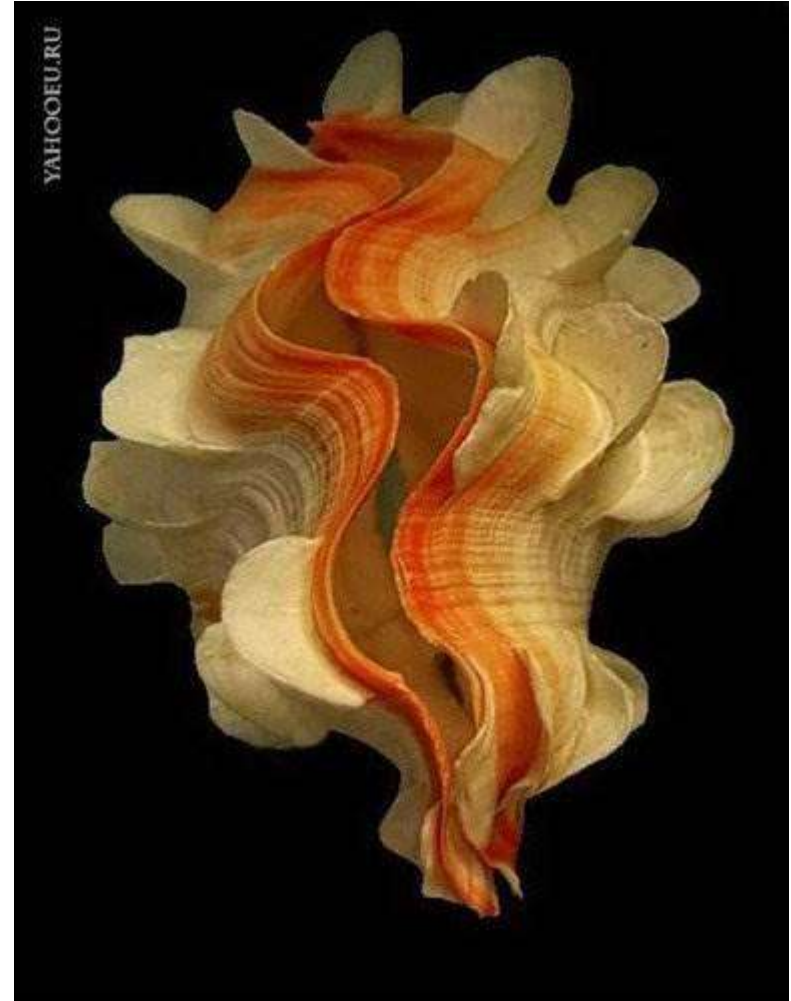
1. Актуальность + задачи
2. Что такое катеноид и гиперболоид
3. Расчеты
4. Сравнение
5. Выводы

# Актуальность

- **Дифференциальная геометрия** – один из главных аспектов мат моделирования
- Помогает подробно моделировать объекты природы



# Морские раковины



# Цель и задачи исследования

- реально ли аналитически смоделировать геометрию раковины?
- Провести расчёты для различных поверхностей
- Построить кривую исходя из полученных данных (результатов)
- Сверить результаты с идеальными значениями

# Наша раковина



# Процесс работы

1. Измерение данных для

- однополостного гиперболоида
- катеноида

2. Измерение экспериментальных данных

3. Есть ли сходство?

# Катеноид

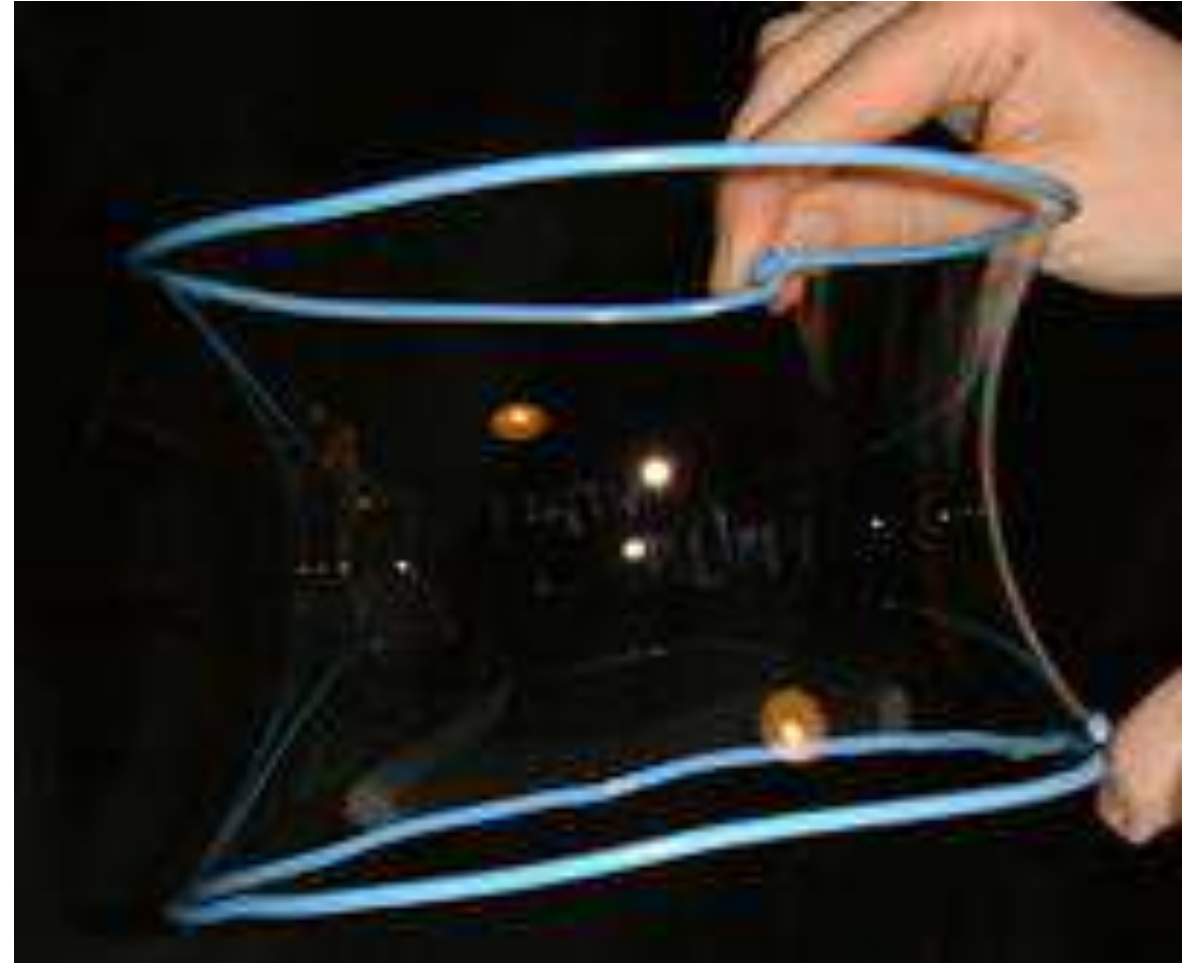
- Минимальная поверхность  
 $x = a * \text{ch}(z/a)$  – вокруг оси  $oz$

$$(x)^2 + (y)^2 = \left(a * \text{ch} \frac{z}{a}\right)^2, \text{ где}$$

$\text{Ch}\left(\frac{z}{a}\right) = 0.5(e^{\frac{z}{a}} + e^{-\frac{z}{a}})$  –  
гиперболический косинус

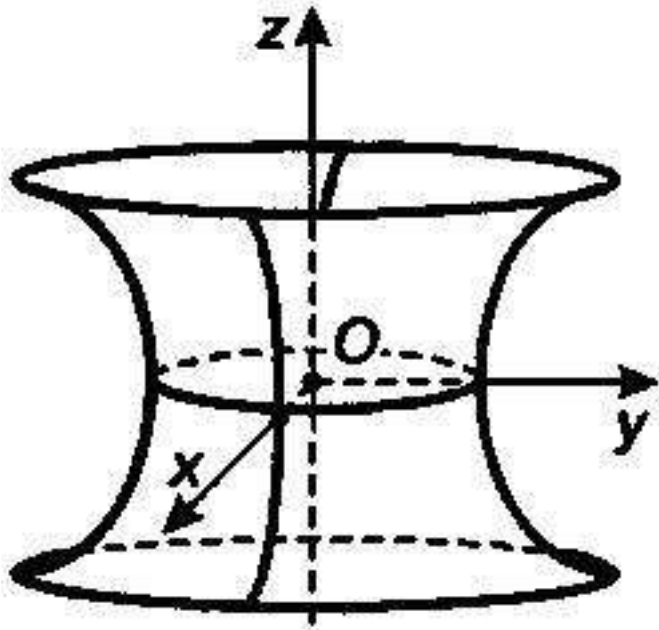
$$\left(\frac{x}{a * \text{ch} \frac{z}{a}}\right)^2 + \left(\frac{y}{a * \text{ch} \frac{z}{a}}\right)^2 = 1 - \text{итоговое}$$

уравнение





# Алгоритм



- При  $z=0$  находим  $a$
- Для каждого  $z_i$  находим  $y_i$
- Вычисляем:

$$Y_i = \left( \frac{y_i}{a \cdot \operatorname{ch} \frac{z_i}{a}} \right)^2, \text{ аналогично } X_i$$

$$x = a \cdot \operatorname{ch}(z/a) \quad (X_i)^2 + (Y_i)^2 = a^2 \operatorname{ch}^2 \frac{z}{a}$$

# Таблица вычислений

$a = 17,5 \text{ мм}$

$z$	$z/a$	$e^{z/a}$	$e^{-z/a}$	$\frac{e^{z/a} + e^{-z/a}}{2}$	$\operatorname{ch} \frac{z}{a}$	$a \cdot \operatorname{ch} \frac{z}{a}$
5	0,29	1,34	0,75	1,05	1,045	18,2875
10	0,57	1,77	0,56	1,2	1,165	20,3875
15	0,86	2,36	0,42	2,18	1,39	24,325
20	1,14	3,13	0,32	3,45	1,725	30,1875
25	1,43	4,18	0,29	4,42	2,21	38,675

# Однополостный гиперболоиды

Для высоких сооружений основную опасность несёт ветровая нагрузка, а у решётчатой конструкции она невелика. Эти особенности делают гиперболоидные конструкции прочными, несмотря на **невысокую материалоемкость.**



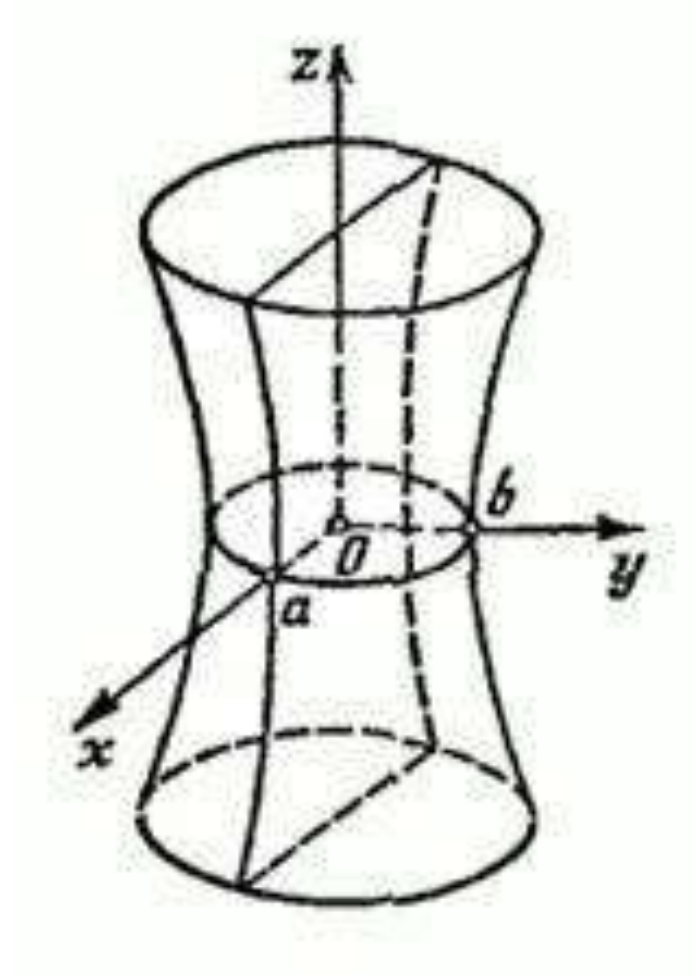
# Однополостный гиперболоид

$$\left(\frac{x}{a}\right)^2 + \left(\frac{y}{b}\right)^2 - \left(\frac{z}{c}\right)^2 = 1, \text{ где } a, b, c > 0$$

$$\text{Горловой эллипс } (z=0) \begin{cases} \left(\frac{x}{a}\right)^2 + \left(\frac{y}{b}\right)^2 = 1 \\ z = 0 \end{cases}$$

$$x=0: \left(\frac{y}{b}\right)^2 - \left(\frac{z}{c}\right)^2 = 1 - \text{гиперболы}$$

Аналогично для  $y=0$



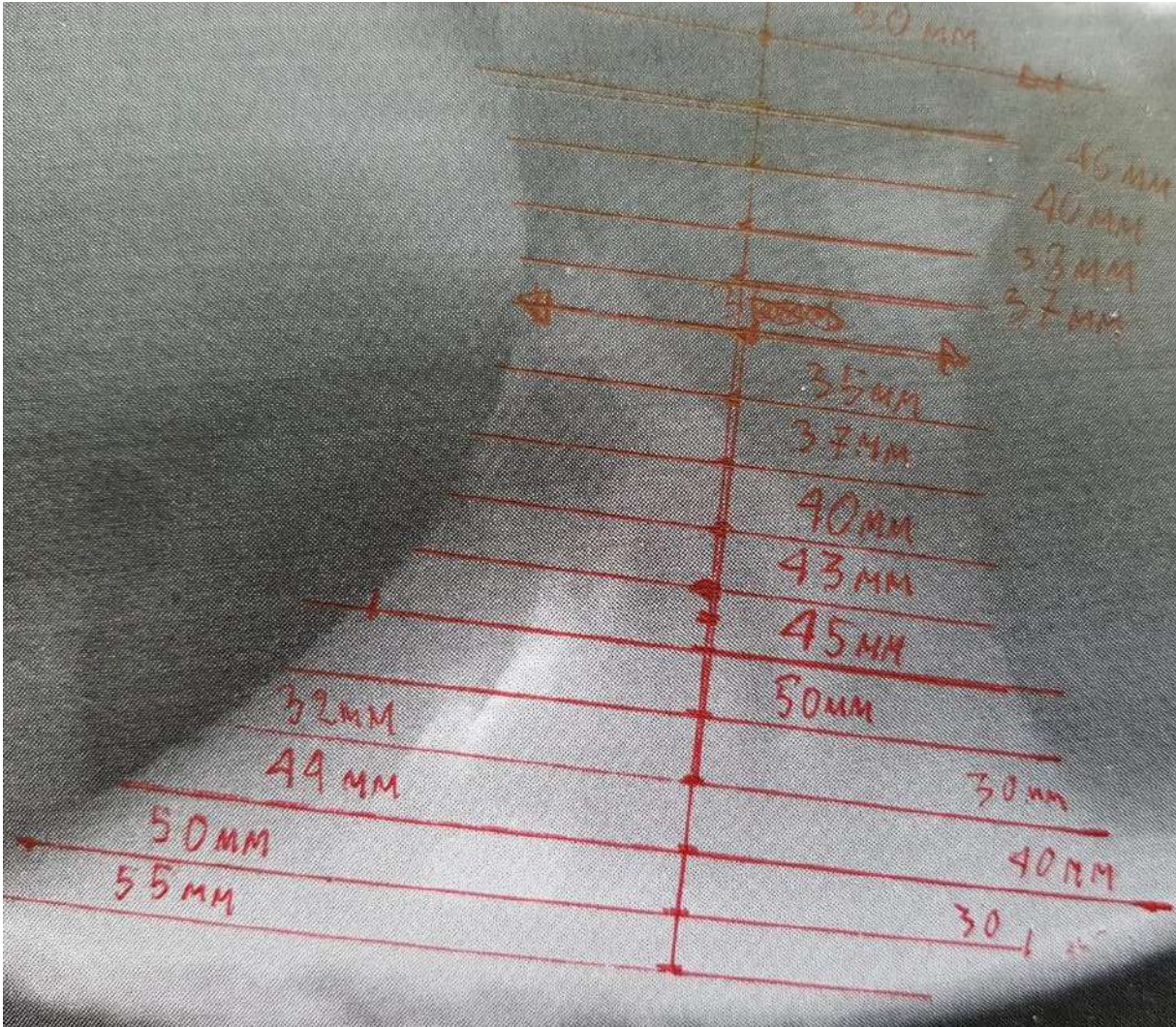
# Алгоритм

- $a=b=c = 17.5$  мм ( «шейка» остается той же)
- $(x)^2 + (y)^2 - (z)^2 = (a)^2$
- При  $y=0$ :  $(x)^2 = (z)^2 + (a)^2$  (мы рассматриваем фигуру вращения)

# Таблица вычислений

$z$	$z^2$	$a^2$	$x^2 = a^2 + z^2$	$x$
5	25	306,25	331,25	18,2
10	100	306,25	406,25	20,2
15	225	306,25	531,25	23,05
20	400	306,25	706,25	26,6
25	625	306,25	931,25	30,5

# Эксперимент

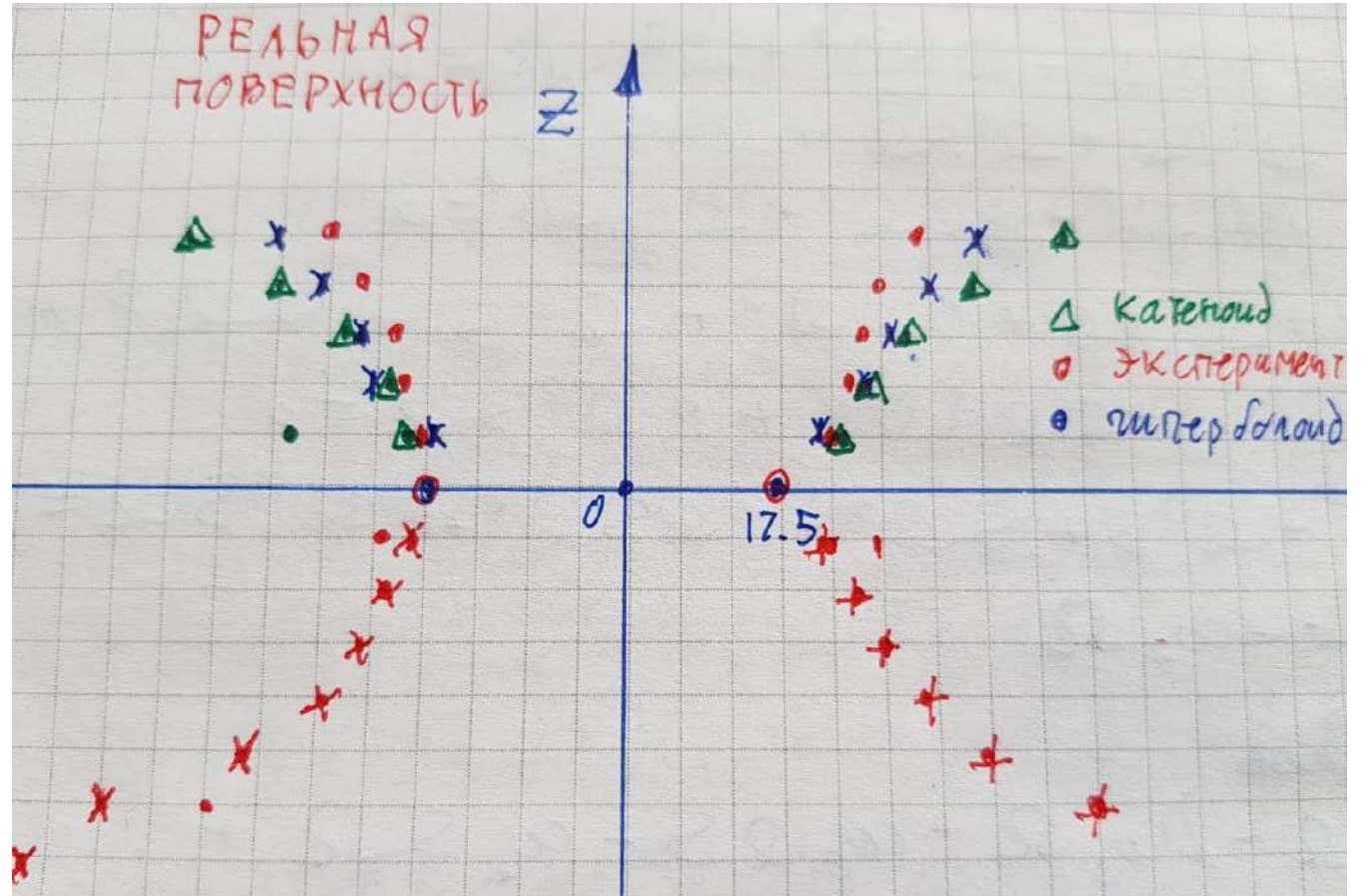


**«шейка»**

$$a = 35 / 2 = 17.5$$

# Сравнение

$z$	Гиперб.	Эксперимент	Катеноид
5	18.2	18.5	18.3
10	20.2	19.0	20.4
15	23.05	20.0	24.3
20	26.6	22.5	30.2
25	30.5	25.0	38.7





# Корреляция

Коэффициент корреляции рассчитывается следующим образом:

$$r = \frac{cov(X, Y)}{S_x S_y} = \frac{\sum_{i=1}^n (x_i - \bar{x})(y_i - \bar{y})}{\sqrt{\sum_{i=1}^n (x_i - \bar{x})^2 \sum_{i=1}^n (y_i - \bar{y})^2}}, \text{ где}$$

$$S_x^2 = \frac{1}{n} \sum_{i=1}^n (x_i - \bar{x})^2, \quad S_y^2 = \frac{1}{n} \sum_{i=1}^n (y_i - \bar{y})^2 \text{ — выборочные дисперсии величин X и Y}$$

Сила связи между переменными

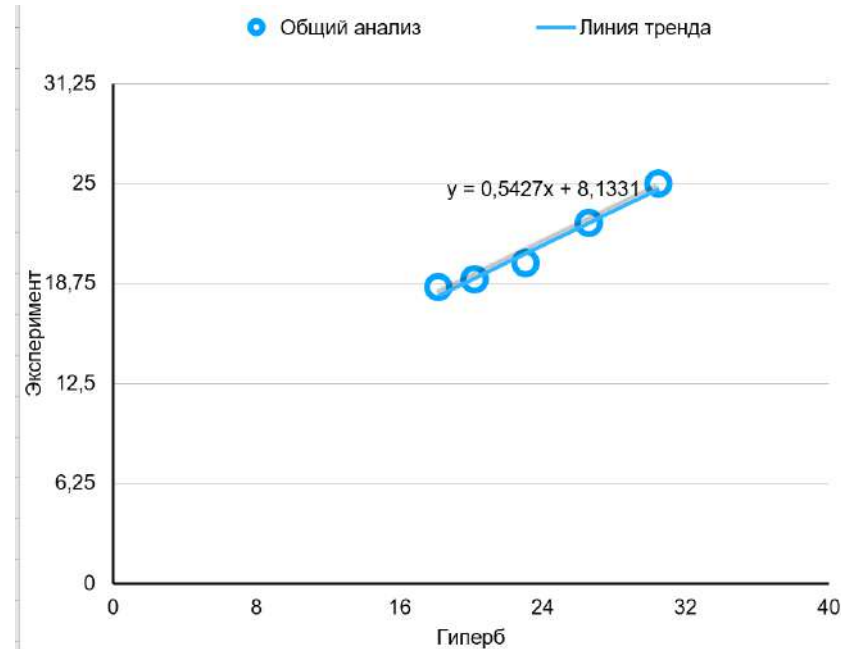
Значение	Интерпретация
От 0 до 0,3	очень слабая
От 0,3 до 0,5	слабая
От 0,5 до 0,7	средняя
От 0,7 до 0,9	высокая
От 0,9 до 0,999	очень высокая

# Расчёт коэффициента

	x	y	среднее значение выборки x (X)	среднее значение выборки y (Y)	A=x <sub>i</sub> -X	B=y <sub>i</sub> -Y	AB	AA	BB	Сумм AB
1			5	23,71						
2	18,2	18,5			-5,51	-2,5	13,775	30,3601	6,25	52,95
3	20,2	19			-3,51	-2	7,02	12,3201	4	
4	23,05	20			-0,66	-1	0,66	0,4356	1	
5	26,6	22,5			2,89	1,5	4,335	8,3521	2,25	
6	30,5	25			6,79	4	27,16	46,1041	16	
7										

Сумм BB	Коэффициент корреляции
29,5	0,98694364

# Корреляция



## Пара Гиперб-Эксперимент

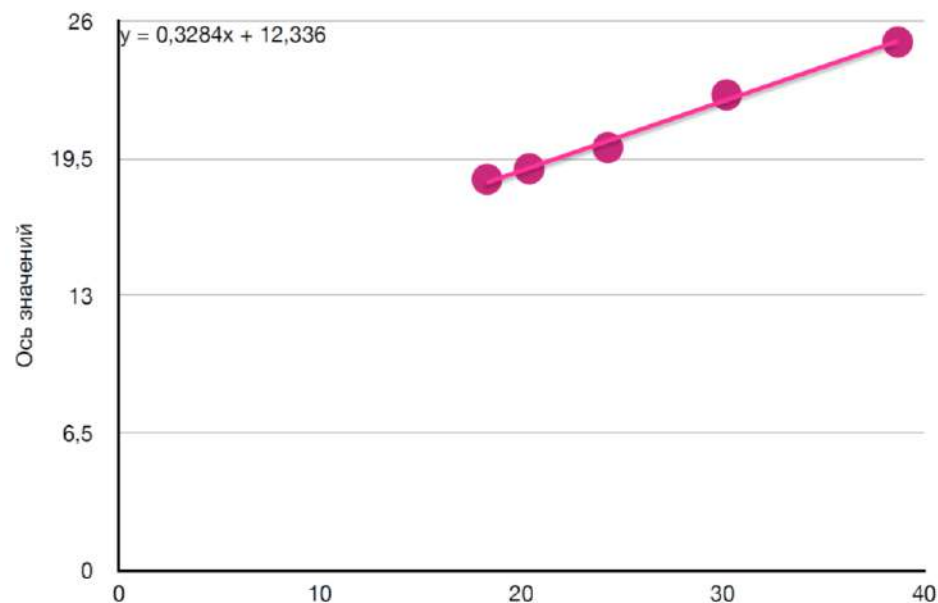
Коэффициент корреляции  $r=0,987$ . При числе степеней свободы  $n-2=3$ , наш расчетный коэффициент корреляции больше табличного ( $r_{tab}=0,959$ , при  $p=99\%$ ). **Связь сильная.** Ниже показан график поля корреляции с отмеченной линией тренда. Линия тренда линейная, используется для аппроксимации данных по методу наименьших квадратов, представлена в виде уравнения  $y=kx+b$ .

# Корреляция

	x	y		среднее значение выборки x (X)	среднее значение выборки y (Y)	A=x <sub>i</sub> -X	B=y <sub>i</sub> -Y
1							
2	18,3	18,5	5	26,38	21	-8,08	-2,5
3	20,4	19				-5,98	-2
4	24,3	20				-2,08	-1
5	30,2	22,5				3,82	1,5
6	38,7	25				12,32	4

AB	AA	BB	Сумм AB	Сумм AA	Сумм BB	Коэффициент корреляции
20,2	65,2864	6,25	89,25	271,748	29,5	0,996813793
11,96	35,7604	4				
2,08	4,3264	1				
5,73	14,5924	2,25				
49,28	151,7824	16				

# Корреляция



## Пара Катеноид-Эксперимент

Коэффициент корреляции  $r=0,997$ . При числе степеней свободы  $n-2=3$ , наш расчетный коэффициент корреляции больше табличного ( $r_{tab}=0,959$ , при  $p=99\%$ ). **Связь сильная.** Ниже показан график поля корреляции с отмеченной линией тренда. Линия тренда линейная, используется для аппроксимации данных по методу наименьших квадратов, представлена в виде уравнения  $y=kx+b$ .

# Результаты

- Форма морской раковины представляет собой промежуточный вариант между **катеноидом и гиперболоидом.**
- Компромисс между
  - Минимальной поверхностью **+E**
  - Оптимальностью конструирования

**Спасибо за внимание!**

**Вопросы?**

Контакты: **avrora.boronina**@gmail.com